

мые спектры кластеризованным в пары центрами меди первого типа. Из температурной зависимости относительных интенсивностей линий спектров ЭПР следует, что константа изотропного обменного взаимодействия  $J \approx 7.5 \text{ см}^{-1}$ . Высокая концентрация центров Б, сравнимая с концентрацией центров А, может быть объяснена взаимодействием электрических дипольных моментов локально раскомпенсированных пространственных зарядов, входящих в пару центров А. Минимум энергии этого взаимодействия соответствует такой взаимной ориентации центров А, при которой оба примесных иона, составляющих пару, оказываются смещеными из позиций замещенных ими катионов решетки в одну и ту же сторону вдоль оси связи пары. Оценка расстояния между ионами меди (в предположении о магнитной диполь-дипольной природе константы анизотропного обменного взаимодействия  $D$ ) дает величину  $\sim 5 \text{ \AA}$ , что несколько меньше постоянной решетки кристалла ( $6.20 \text{ \AA}$ ). Однако если в анизотропном обмене учесть и другие (кроме магнитного диполь-дипольного) вклады, то расчет межионного расстояния может дать величину, совпадающую с постоянной решетки. Анализ перечисленных фактов приводит к модели ПЦ (Б) (рис. 2).

### Список литературы

- [1] Зарипов М. М., Уланов В. А. // ФТТ. 1988. Т. 30. № 5. С. 1547—1549.
- [2] Bill H. // Phys. Lett. A. 1973. V. 44. N 2. P. 101—103.
- [3] Bill H., Millert C., Lacroix R. // Proc. 17th Cong. AMPERE. North Holland Publ. Co., 1973. P. 323—325.

Казанский физико-технический  
институт КФ АН СССР  
Казань

Поступило в Редакцию  
24 октября 1988 г.

УДК 538.935

Физика твердого тела, том 31, в. 10, 1989  
Solid State Physics, vol. 31, N 10, 1989

## СОЛИТОННАЯ ПРОВОДИМОСТЬ СЛУЧАЙНО-НЕОДНОРОДНЫХ ОДНОМЕРНЫХ СИСТЕМ

Б. А. Маломед

Нелинейная проводимость одномерных металлов объясняется действием соизмеримости и заряженных примесей на волну зарядовой плотности (ВЗП). Эволюция фазовой расстройки соизмеримой ВЗП описывается уравнением [1]

$$\Phi_{tt} + \alpha \Phi_t - \Phi_{xx} + \sin \Phi + f = \varepsilon_0 \sum_n \delta(x - x_n) \cos(\Phi/M + 2k_F x_n), \quad (1)$$

где  $M$  — индекс соизмеримости,  $M\Phi$  — фазовая расстройка,  $\alpha$  — диссипативная константа,  $f$  — электрическое поле,  $\varepsilon_0$  — константа связи ВЗП с примесями,  $x_n$  — координаты примесей. В реальной системе среднее расстояние  $l$  между примесями мало по сравнению с размером солитона [1]. Поэтому естественно заменить уравнение (1) на

$$\Phi_{tt} + \alpha \Phi_t - \Phi_{xx} + \sin \Phi + f = \zeta_1(\mathbf{x}) \sin(\Phi/M) + \zeta_2(\mathbf{x}) \cos(\Phi/M), \quad (2)$$

где  $\zeta_{1,2}(x)$  — гауссовые случайные функции, определенные корреляторами

$$\langle \zeta_{1,2}(x) \rangle = \langle \zeta_1(x) \zeta_2(x') \rangle = 0, \quad \langle \zeta_1(x) \zeta_1(x') \rangle = \langle \zeta_2(x) \zeta_2(x') \rangle = \varepsilon^2 \delta(x - x'), \quad \varepsilon^2 \equiv \varepsilon_0^2/2l. \quad (3)$$

Схожее континуальное приближение для уравнения (1) рассматривалось в [1]. Модель (2), (3) с  $\zeta_2 \equiv 0$ ,  $M=1$  предлагалась в [2] для описания длинного джозефсоновского перехода (ДДП) со случайно модулированной максимальной плотностью сверхпроводящего тока.

Во многих одномерных металлах диссипация является очень сильной [3]. В этом случае уравнение (2) заменяется на

$$\alpha\Phi_t - \Phi_{xx} + \sin\Phi + f = \zeta_1 \sin(\Phi/M) + \zeta_2(x) \cos(\Phi/M). \quad (4)$$

Модель (4) с  $\zeta_2 \equiv 0$ ,  $M=1$  описывает случайно-неоднородный ДДП SNS типа.

Далее параметры  $\alpha$ ,  $f$  и  $\epsilon$  в (2), (3) либо  $f$  и  $\epsilon$  в (4), (3) будут считаться малыми. В этом случае решение, описывающее заряженный солитон ВЗП либо квант потока в ДДП, близко к так называемому кинку

$$\Phi_k = 4 \operatorname{arctg} [\exp((x - \xi)(1 - V^2)^{-1/2})], \quad (5)$$

где  $\xi = Vt$  и  $V$  — его координата и скорость.

Известная модель солитонной проводимости ВЗП, развитая в [4], основана на вычислении скорости рождения пар кинк—антикинк электрическим полем. Цель настоящей работы — предложить другую модель, основанную на освобождении электрическим полем кинков, захваченных случайнм потенциальным рельефом. В духе теории возмущений [5] легко найти эффективный однокинковый потенциал, соответствующий модели (2)–(4)

$$U(\xi) = \int_{-\infty}^{+\infty} dx \sum_{i=1}^2 \zeta_i(x) U_i(\xi - x), \quad U_1(z) \equiv M [1 + \cos(M^{-1}\Phi_k(z))], \\ U_2(z) \equiv M [1 - \sin(M^{-1}\Phi_k(z))], \quad (6)$$

где  $\Phi_k$  — кинк (2) с  $V=0$ .

Данная модель проводимости основана на предположении, что при  $f=0$  система содержит захваченные кинки с плотностью  $n_0 \ll 1$ . С ростом  $f$  захваченный кинк освобождается при некотором  $f=f_{cr}$ . Легко найти вероятностное распределение значений  $|f_{cr}|$ , соответствующее случайному потенциалу (6) (см. также [2])

$$p(f_{cr}) = 2(2\pi/I_1)^{1/2} \epsilon^{-1} \exp(-2\pi^2 f_{cr}^2/I_1 \epsilon^2), \\ I_j \equiv \int_{-\infty}^{+\infty} dx \sum_{i=1}^2 [d^j U_i(x)/dx^j]^2 \quad (j=1, 2, 3). \quad (7)$$

Используя (7), несложно найти долю кинков  $\mu(f)$ , освобожденных при данном  $f$

$$\mu(f) \equiv \int_0^f p(f_{cr}) df_{cr} = \operatorname{erf}(\sqrt{2} \pi f / \sqrt{I_1} \epsilon). \quad (8)$$

Дальнейший анализ различается для моделей (2) и (4).

В случае модели (4) необходимо учесть, что освобожденный кинк может быть снова захвачен в другом месте. Поэтому проводимость определяется максимальной плотностью  $n_t(f)$  кинков, которые могут быть захвачены при данном  $f$ . В области  $f \gg \epsilon$ , представляющей основной интерес в силу предположения  $n_0 \ll 1$ , выражение (7) дает

$$n_t(f) \approx (2\pi^5)^{-1/2} \sqrt{I_1 I_3 / I_2} \epsilon f^{-1} \exp(-2\pi^2 f^2 / I_1 \epsilon^2). \quad (9)$$

Система становится проводящей при  $f=f_0$ , таком, что  $n_t(f_0)=n_0$ . Согласно (9),  $f_0^2 \approx (I_1/2\pi^2)\epsilon^2 \ln n_0^{-1}$ . При  $f > f_0$  плотность свободных кинков равна

$n_0 - n_t(f)$  и средняя скорость свободного кинка [5]  $V = \pi f / 4\alpha$ , так что солитонный ток равен

$$j \equiv V(f) [n_0 - n_t(f)] \approx \frac{\pi f}{4\alpha} n_0 \left\{ 1 - \exp \left[ - \frac{4\pi^2 f_0}{I_1 \epsilon^2} (f - f_0) \right] \right\}. \quad (10)$$

Умножая (10) на заряд солитона  $q = 2e/M$ , можно получить вольт-амперную характеристику (ВАХ) системы, схематически показанную на рис. 1.

Как видно из (10), переходная область на ВАХ имеет размер  $\sim \Delta f \equiv I_1 \epsilon^2 / 4\pi^2 f_0$ .

Перейдем к модели (2) с  $\alpha \ll \epsilon$ . В этом случае средняя скорость кинка [5]

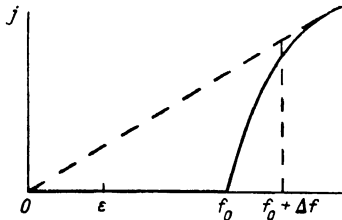


Рис. 1. ВАХ (10).

Штриховая линия — ВАХ однородной системы  $j = n_0 (\pi f / 4\alpha)$ .

$V = [1 + (4\alpha/\pi f)^2]^{-1/2}$  и солитонный ток  $j = V(f) n_0 \mu(f)$ , где  $\mu(f)$  определено в (8). Как видно, основной интерес представляет область  $f \sim \epsilon$ . Благодаря предположению  $\alpha \ll \epsilon$ , в этой области  $V \approx 1$ , так что форма ВАХ прямо дается уравнением (8). Эта ВАХ справедлива, если столкновения между свободными и захваченными кинками не приводят к освобождению последних. Можно показать, что это верно при том же условии  $\alpha \ll \epsilon$ . Фактически ВАХ оказывается гистерезисной: описанная здесь ветвь наблюдается, если  $f$  растет от нуля; если же  $f$  уменьшается от значений  $f \geq \epsilon$ , то реализуется обычная ВАХ однородной системы, отвечающая  $\mu(f) \equiv 1$  (рис. 2). Если  $f$  увеличивается вдоль нижней ветви до некоторого  $f_1 \sim \epsilon$ , а затем уменьшается обратно, будет наблюдаться промежуточная ветвь (рис. 2, штрихи), отвечающая  $\mu \equiv \mu(f_1)$ .

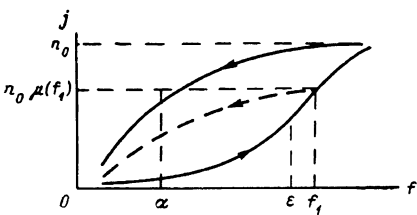


Рис. 2. Гистерезисная ВАХ модели (2).

Стрелки указывают смысл отдельных ветвей.

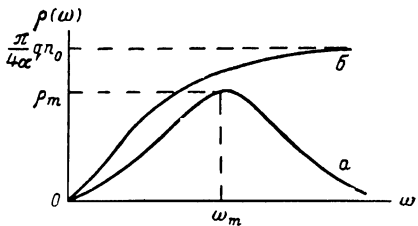


Рис. 3. Зависимость динамической проводимости от частоты.

а — модель (2), б — модель (4).

В модели (2) можно также учесть радиационные потери. В частности, в пределе  $1 - V^2 \rightarrow 0$  мощность излучения энергии движущимся кинком принимает вид  $W = \epsilon^2 \sin^2(\pi/M)$ . Обращение этого выражения в нуль при  $M=1$  согласуется с результатами [2].

Наконец, для моделей (2) и (4) можно вычислить динамическую проводимость  $\rho(\omega)$ , соответствующую переменному напряжению  $f = F \cos(\omega t)$ . Под действием этого напряжения захваченные кинки, описываемые моделью (2), осциллируют вблизи локальных минимумов потенциала (6)

$$\xi(t) = \operatorname{Re} [\Xi \exp(i\omega t)], \quad \Xi = \frac{\pi}{4} (\omega_0^2 - \omega^2 + i\alpha\omega)^{-1} F, \quad (11)$$

где  $\omega_0$  — собственная частота малых колебаний. Распределение значений  $\omega_0^2$  можно найти аналогично (7)

$$\rho(\omega_0^2) = 1/4 (2\pi I_2)^{-1/2} \epsilon^{-1} \exp(-\omega_0^2/16I_2\epsilon^2). \quad (12)$$

Используя (11) и (12), можно вычислить  $\rho(\omega) \equiv qn_0 |\langle \xi/F \rangle| = qn_0 \omega \langle \Xi/F \rangle$ . В частности,  $\rho(\omega) \approx (2\pi/I_2)^{1/2} (qn_0 \omega / \epsilon) \ln [\epsilon^2 / \omega^2 (\omega^2 + \alpha^2)]$  при  $\omega^2 \ll \epsilon$  и

$\rho(\omega) \approx \pi/4 \cdot qn_0/\omega$  при  $\omega^2 \gg \epsilon$  (рис. 3, а). Фактически последнее выражение относится к однородной системе. Максимум  $\rho_m \sim qn_0\epsilon^{-1/2}$  достигается при  $\omega = \omega_m \sim \sqrt{\epsilon}$ . Для модели (4) аналогично получается  $\rho(\omega) \approx 2(2\pi/I_2)^{1/2} (qn_0\omega/\epsilon) \ln(\epsilon/\omega\alpha)$  при  $\alpha\omega \ll \epsilon$  и  $\rho(\omega) \approx (\pi/4\alpha)qn_0$  при  $\alpha\omega \gg \epsilon$  (рис. 3, б).

Для случая, когда среднее расстояние  $l$  между примесями велико по сравнению с размером солитона, т. е.  $l \gg 1$ , динамика солитонов в модели (1) и в ее диссипативном варианте, аналогичном (4), была подробно исследована в [6]. Результаты качественно аналогичны полученным в данной работе.

Полученные результаты применимы к ДДП с тем отличием, что в теории ДДП  $f$  имеет смысл плотности стороннего тока, в то время как  $j$  представляет собой напряжение на переходе.

Более подробный вариант данной работы опубликован в [8]. Я признателен А. Р. Бишопу, А. Ф. Волкову, И. В. Криве, А. А. Непомнящему и А. С. Рожавскому за полезные обсуждения.

### Список литературы

- [1] Fukuyama H. // J. Phys. Soc. Jpn. 1978. V. 45. N 5. P. 1474—1481.
- [2] Минеев М. Б., Фейгельман М. В., Шмидт В. В. // ЖЭТФ. 1981. Т. 81. № 1. С. 290—298.
- [3] Weger M., Horovitz B. // Sol. St. Comm. 1982. V. 43. N 7. P. 583—586; Horovitz B., Trullinger S. E. // Sol. St. Comm. 1984. V. 49. N 2. P. 192—199.
- [4] Maki K. // Phys. Rev. Lett. 1977. V. 39. N 1. P. 46—48.
- [5] McLaughlin D. W., Scott A. C. // Phys. Rev. A. 1978. V. 18. N 4. P. 1652—1680.
- [6] Malomed B. A. // J. Phys. C. 1988. V. 21. P. 5163—5181.
- [7] Kivshar Yu. S., Konotop V. V., Sinitsyn Yu. A. // Z. Phys. B. 1986. V. 65. P. 209—223.
- [8] Malomed B. A. // Phys. Rev. B. 1989. V. 39. P. 8018.

Институт океанологии АН СССР  
Москва

Поступило в Редакцию  
26 декабря 1988 г.

УДК 535.84

Физика твердого тела, том 31, в. 10, 1989

Solid State Physics, vol. 31, N 10, 1989

## СПЕКТР ФУНДАМЕНТАЛЬНОГО ОТРАЖЕНИЯ КЕРАМИКИ ХАЛЬКОГЕНИДОВ ЦИНКА

*M. B. Курик, A. И. Проскура*

Для ряда керамик на основе широкозонных полупроводников  $A_2B_6$  наблюдались спектры излучения света при различных способах возбуждения, а также эффекты сильного электрического поля [1—3]. Эти явления объяснялись в предположении, что керамика имеет энергетическую структуру, близкую к монокристаллическим образцам. Основанием для такого вывода служило совпадение спектров керамических и монокристаллических образцов в области примесного поглощения и излучения.

В настоящей работе впервые измерены спектры фундаментального отражения при комнатной температуре керамики халькогенидов цинка и со-поставлены с данными для монокристаллов. Такое сопоставление спектров позволило сделать вывод о зонной структуре исследуемых керамических полупроводников.

Образцы керамики получались методом горячего прессования. Эта процедура заключалась в том, что исходные порошки, имеющие степень чистоты «для люминофоров», загружались в графитовые пресс-формы, к которым после достижения температуры спекания  $T_{сп}$  на некоторое время